

УДК

DOI <https://doi.org/10.32782/pcsd-2021-1-4>

Іван ОЛЕКСЕЮК

доктор хімічних наук, професор, професор кафедри хімії та технологій Волинський національний університет імені Лесі Українки, просп. Волі, 13, м. Луцьк, Волинська обл., Україна, 43025

ORCID: 0000-0001-7206-4351

Юрій КОГУТ

кандидат хімічних наук, старший лаборант кафедри хімії та технологій Волинський національний університет імені Лесі Українки, просп. Волі, 13, м. Луцьк, Волинська обл., Україна, 43025

ORCID: 0000-0002-7076-5549

Людмила ПІСКАЧ

кандидат хімічних наук, професор, професор кафедри хімії та технологій Волинський національний університет імені Лесі Українки, просп. Волі, 13, м. Луцьк, Волинська обл., Україна, 43025

ORCID: 0000-0003-3117-4006

Бібліографічний опис статті: Олексеюк, І., Когут, Ю., Піскач, Л. (2021). Фазові рівноваги на ізотермічних перерізах квазіпотрійних систем $ag(cu)_2x-pbx-snx_2$ ($x=s, se$) при 300 к. *Проблеми хімії та сталого розвитку*, 1, 14–30, doi: <https://doi.org/10.32782/pcsd-2021-1-4>

**ФАЗОВІ РІВНОВАГИ НА ІЗОТЕРМІЧНИХ ПЕРЕРІЗАХ
КВАЗІПОТРІЙНИХ СИСТЕМ $Ag(Cu)_2X-PbX-SNX_2$ ($X=S, Se$) ПРИ 300 К**

Побудовано ізотермічні перерізи квазіпотрійних систем $Ag(Cu)_2X-PbX-SnX_2$ ($X=S, Se$) при кімнатній температурі, використовуючи рентгенофазовий аналіз. Тетрафазних проміжних фаз у системах не знайдено. У селенвмісних системах проміжні сплави на стороні $PbSe-SnSe_2$ трифазні, а у трикутниках, обмежених цією стороною, – чотирифазні, що зумовлено неквазібінарністю перерізу $PbSe-SnSe_2$ та відмінною від сульфідних тетраедрацією систем $Ag(Cu)-Pb-Sn-Se$.

Ключові слова: напівпровідники; ізотермічні перерізи; фазові діаграми; рентгенофазовий аналіз.

Ivan OLEKSEYUK

Doctor of Chemical Sciences, Professor, Professor at the Department of Chemistry and Technology, Lesya Ukrainka Volyn National University, 13 Voli ave., Lutsk, Volyn region, Ukraine, 43025

ORCID: 0000-0001-7206-4351

Yuri KOGUT

PhD in Chemistry, Head of Laboratory at the Department of Chemistry and Technology, Lesya Ukrainka Volyn National University, 13 Voli ave., Lutsk, Volyn region, Ukraine, 43025

ORCID: 0000-0002-7076-5549

Ljudmyla PISKACH

PhD in Chemistry, Professor, Professor at the Department of Chemistry and Technology, Lesya Ukrainka Volyn National University, 13 Voli ave., Lutsk, Volyn region, Ukraine, 43025

ORCID: 0000-0003-3117-4006

To cite this article: Olekseyuk, I., Kogut, Y. & Piskach, L. (2021). Fazovi rivnovahy na izotermichnykh pererizakh kvazipotriinykh system $ag(cu)_2x-pbx-snx_2$ ($x=s, se$) pry 300 k [Phase equilibria at the isothermal sections of the quasi-ternary systems $ag(cu)_2x-pbx-snx_2$ ($x=s, se$) at room temperature]. *Problems of Chemistry and Sustainable Development*, 1, 14–30, doi: <https://doi.org/10.32782/pcsd-2021-1-4>

PHASE EQUILIBRIA AT THE ISOTHERMAL SECTIONS OF THE QUASI-TERNARY SYSTEMS $\text{Ag}(\text{Cu})_2\text{X}-\text{PbX}-\text{SnX}_2$ ($\text{X}=\text{S}, \text{Se}$) AT ROOM TEMPERATURE

The isothermal sections of the quasi-ternary systems $\text{Ag}(\text{Cu})_2\text{X}-\text{PbX}-\text{SnX}_2$ ($\text{X}=\text{S}, \text{Se}$) at room temperature were investigated by X-ray phase analysis. No intermediate quaternary phases were found in the systems. Intermediate alloys on the $\text{PbSe}-\text{SnSe}_2$ side are three-phase, the alloys in the triangles bounded by this side are four-phase. The reason for this is that the $\text{PbSe}-\text{SnSe}_2$ section is non-quasi-binary causing an unusual tetrahedration of the $\text{Ag}(\text{Cu})-\text{Pb}-\text{Sn}-\text{Se}$ systems that is different from the sulfide systems.

Key words: semiconductors, isothermal sections, phase diagrams, X-ray phase analysis.

1. Вступ

Системи $\text{Ag}(\text{Cu})_2\text{X}-\text{PbX}-\text{SnX}_2$ ($\text{X}=\text{S}, \text{Se}$) вивчались у рамках систематичного дослідження фазових рівноваг і кристалічної структури тетрарних сполук у системах $\text{A}^I_2\text{X}-\text{PbX}-\text{D}^{IV}\text{X}_2$ ($\text{A}^I=\text{Ag}, \text{Cu}$; $\text{D}^{IV}=\text{Si}, \text{Ge}, \text{Sn}$; $\text{X}=\text{S}, \text{Se}$). Ці системи є подібними до систем за участю металів II-б підгрупи Періодичної системи ($\text{B}^{II}=\text{Zn}, \text{Cd}, \text{Hg}$), які вже досліджувались на кафедрі загальної та неорганічної хімії ВДУ. Хоча плюмбум є металом IV-а підгрупи, для нього більш характерний ступінь окиснення +2, в якому він і виступає у вищевказаному типі квазіпотрійних систем. Зацікавленість у системах із плюмбумом виникла після виходу статті [1]. Багато зі згаданих сполук типу $\text{A}^I_2\text{B}^{II}\text{D}^{IV}\text{X}_4$ були відомі раніше, деякі з них уперше отримано саме на нашій кафедрі [2]; сполуки цього типу володіють напівпровідниковими властивостями з можливим застосуванням у різноманітних галузях оптики. Для визначення характеру фізико-хімічної взаємодії було проведено дослідження ізотермічних перерізів у системах $\text{Ag}(\text{Cu})_2\text{X}-\text{PbX}-\text{SnX}_2$.

Серед відомих тернарних сполук, що утворюються на бічних сторонах систем, єдиную сполукою із плюмбумом є PbSnS_3 , що кристалізується у ромбічній сингонії (табл. 1). Як аргентум, так і купрум утворюють зі станумом три тернарні сульфідні аналоги PbSnS_3 – метатіос-

таннати $\text{Ag}(\text{Cu})_2\text{SnS}_3$; в області, збагаченій відносно них сульфідом I-б групи, існують представники родини аргіродитів Ag_8SnS_6 і Cu_4SnS_4 ; у частині концентраційних трикутників, ближчій до SnS_2 , існують сполуки $\text{Ag}_4\text{Sn}_3\text{S}_8$ і $\text{Cu}_2\text{Sn}_3\text{S}_7$. Літературні дані про їх кристалічну будову наведено у таблиці 1.

2. Експериментальна частина

Сплави систем $\text{Ag}(\text{Cu})_2\text{X}-\text{PbX}-\text{SnX}_2$ готували високотемпературним синтезом розрахованих кількостей високочистих елементів (чистою не менше 99.99 мас.%) у вакуумованих кварцових ампулах. Синтез проводили у печах шахтного типу. Ампули нагрівалися зі швидкістю 30 К/год до максимальної температури (1170–1270 К залежно від складу) і витримувалися протягом 6 год із періодичним вібраційним перемішуванням. Сплави зі значним вмістом SnS_2 чи SnSe_2 нагрівали до 1170 К, інші сплави – до 1270 К. Охолодження проводилося із швидкістю 10 К/год до 670 К. Після відпалу протягом 250 год сплави охолоджували до кімнатної температури. Одержані сплави досліджувалися рентгенофазовим аналізом на дифрактометрі ДРОН 4-13 (випромінювання CuK_α).

3. Результати та обговорення

3.1. Системи $\text{Ag}(\text{Cu})_2\text{S}-\text{PbS}-\text{SnS}_2$

Ізотермічні перерізи квазіпотрійних систем $\text{Ag}(\text{Cu})_2\text{S}-\text{PbS}-\text{SnS}_2$ при кімнатній температурі побудовані за результатами дослідження

Таблиця 1

Кристаліграфічні параметри тернарних сполук

Формула	Просторова група	a, нм	b, нм	c, нм	Література
PbSnS_3	<i>Pnma</i>	0.8738	0.3792	1.4052	[3]
Ag_2SnS_3	моноклінна	0.6270	0.5796	1.3719	[4]
Ag_8SnS_6	<i>Pna2_1</i>	1.530	0.755	1.070	[5]
$\text{Ag}_4\text{Sn}_3\text{S}_8$	<i>P4_32</i>	1.08013	–	–	[6]
Ag_8SnSe_6	<i>Pnm2_1</i>	0.7917	0.7822	1.1045	[7]
Cu_2SnS_3	<i>F-43m</i>	0.5445	–	–	[8]
Cu_4SnS_4	<i>Pnma</i>	1.370	0.7750	0.6454	[9]
$\text{Cu}_2\text{Sn}_3\text{S}_7$	<i>Fd-3m</i> ; структура повністю не досліджена				[9]
Cu_2SnSe_3	<i>F-43m</i>	0.5696	–	–	[8]

24 сплавів кожна. Їх хімічний і фазовий склад, поряд із триангуляцією систем, подано на рис. 1. В аргентум-вмісній системі усі три сполуки на бічній стороні Ag_2S – SnS_2 утворюють триангулюючі перерізи з PbSnS_3 . Крім цього, існує двофазна рівновага між аргіродитом Ag_8SnS_6 і PbS . На відміну від цього, у купрум-вмісній системі триангулюючі перерізи із PbS мають дві тернарні сполуки: Cu_2SnS_3 і Cu_4SnS_4 . Дифрактограми сплавів поза вказаними перерізами містять піки дифракційних відбить, які належать трьом сполукам, що утворюють відповідні трифазні ділянки. В обох квазіпо-

трійних системах тетраарних проміжних фаз не виявлено. Розчинність на основі Ag_8SnS_6 не перевищує 2 мол.% PbS .

3.2. Системи $\text{Ag}(\text{Cu})_2\text{Se}$ – PbSe – SnSe_2

Для дослідження кожної із систем $\text{Ag}(\text{Cu})_2\text{Se}$ – PbSe – SnSe_2 було синтезовано по 22 сплави (рис. 2). Встановлено, що при кімнатній температурі тетраарні проміжні сполуки в системах не утворюються. Триангулюючими перерізами у цих системах є Ag_8SnSe_6 – PbSe і Cu_2SnSe_3 – PbSe , відповідно. На відміну від сульфур-вмісних систем, сплави у трикутниках, які безпосередньо прилягають до станум

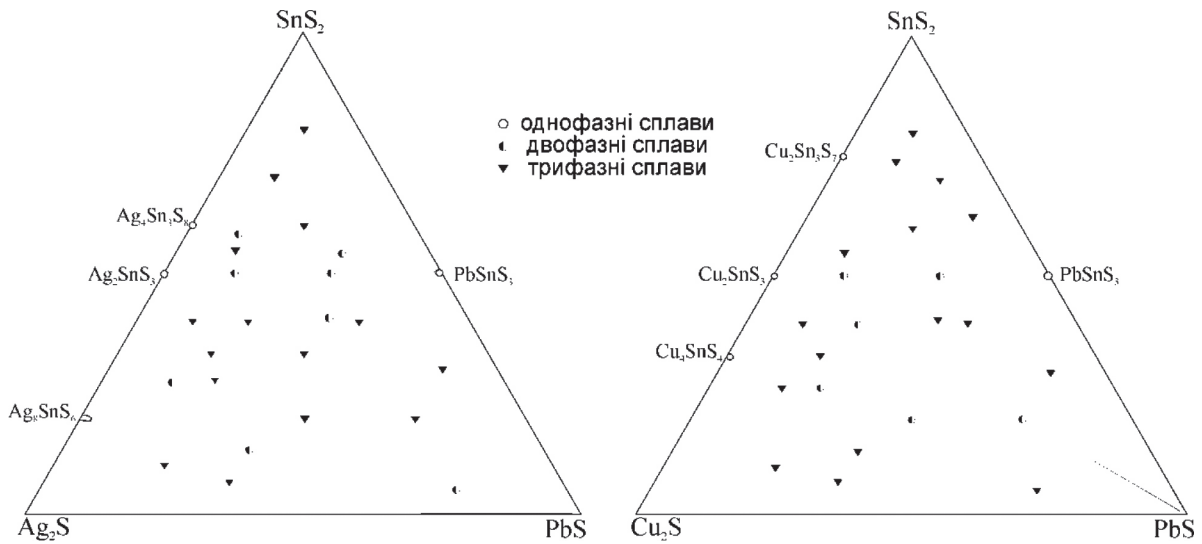


Рис. 1. Ізотермічні перерізи систем Ag_2S – PbS – SnS_2 (ліва) і Cu_2S – PbS – SnS_2 (права)

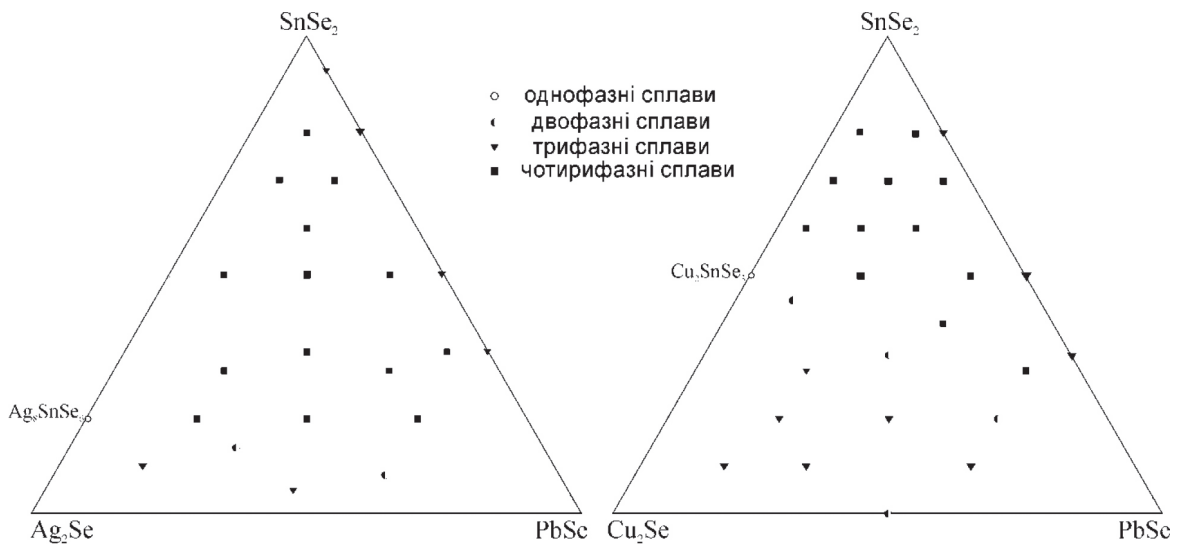


Рис. 2. Ізотермічні перерізи систем Ag_2Se – PbSe – SnSe_2 (ліва) і Cu_2Se – PbSe – SnSe_2 (права)

диселеніду, містять не три, як можна було очікувати, а чотири фази. Це означає, що тетраедрація концентраційного чотиригранника проходить не через SnSe_2 , а через SnSe , що показано на прикладі аргентум-вмісної системи жирною лінією на рис. 3. У цьому випадку зразки на площині $\text{Ag}_8\text{SnSe}_6\text{-PbSe-SnSe}_2$ не міститимуть фази SnSe_2 . Для купрум-вмісної системи тетраедрація аналогічна, але сполука на бічній стороні $\text{Cu}_2\text{Se-SnSe}_2$ інша – Cu_2SnSe_3 .

Відсутність сполук у плюмбум-вмісних системах на відміну від систем з елементами II-б підгрупи (сполуки $\text{Ag}(\text{Cu})_2\text{B}^{\text{II}}\text{SnX}_4$ відомі для всіх трьох B^{II} як для $\text{X}=\text{S}$, так і для Se) найімовірніше пояснюється розмірним фактором. Атоми ртуті у цих сполуках мають тетраедричне оточення; відповідний $r_{\text{tet}}(\text{Hg}^{2+})=1.10\text{Å}$ [10]. Для плюмбуму ж характерні координаційні числа 6 і 8 [11]; відповідний $r_8(\text{Pb}^{2+})=1.43\text{Å}$ [10].

Ця розмірна невідповідність ускладнює можливість заміщення Pb атомів B^{II} з утворенням аналогічних сполук. Можливим є також фактор, що утворення сполук із ртуті лежить на границі термічної стабільності внаслідок подальшої металізації, а відтак послаблення іонно-ковалентного зв'язку, характерного для тетрарних сполук, при збільшенні атомного номера елемента B^{II} .

4. Висновки

Побудовано ізотермічні перерізи квазіпотрійних систем $\text{Ag}(\text{Cu})_2\text{X-PbX-SnX}_2$ ($\text{X}=\text{S}, \text{Se}$)

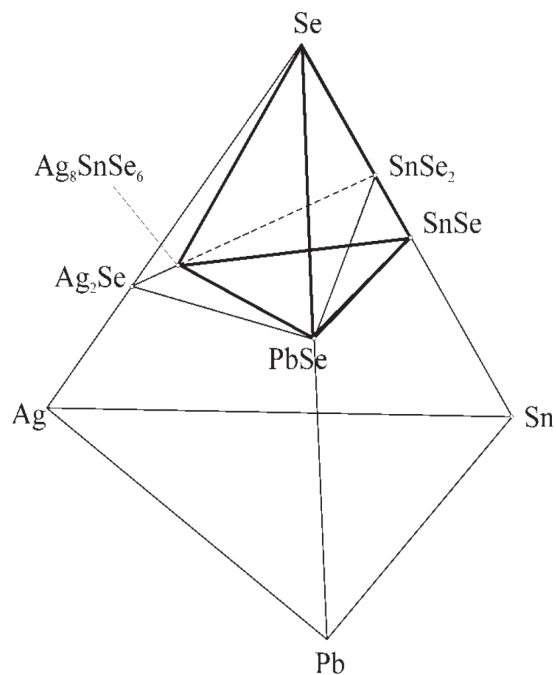


Рис. 3. Тетраедрація концентраційного чотиригранника Ag-Pb-Sn-Se

при кімнатній температурі. Тетрарних сполук у системах не виявлено. Їх відсутність, на противагу елементам II-б підгрупи, які утворюють багато сполук із загальною формулою $\text{A}^{\text{I}}\text{B}^{\text{II}}\text{SnX}_4$, пояснюється розмірним фактором. Визначено тетраедрацію концентраційних чотиригранників $\text{Ag}(\text{Cu})\text{-Pb-Sn-Se}$.

ЛІТЕРАТУРА:

1. Iyer R.G., Aitken J.A., Kanatzidis M.G. Noncentrosymmetric cubic thio- and selenogermanates: $\text{A}_{0.5}\text{M}_{1.75}\text{GeQ}_4$ ($\text{A} = \text{Ag}, \text{Cu}, \text{Na}; \text{M} = \text{Pb}, \text{Eu}; \text{Q} = \text{S}, \text{Se}$). *Solid State Sciences*. 2004. V.6. P. 451–459.
2. Parasyuk O.V., Piskach L.V., Romanyuk Y.E., Olekseyuk I.D., Zarembo V.I., Pekhnyo V.I. Phase relations in the quasi-binary $\text{Cu}_2\text{GeS}_3\text{-ZnS}$ and quasi-ternary $\text{Cu}_2\text{S-Zn}(\text{Cd})\text{S-GeS}_2$ systems and crystal structure of $\text{Cu}_2\text{ZnGeS}_4$. *J. Alloys Comp.* 2005. V. 397. P. 85–94.
3. Jumas J.-C., Ribes M., Philippot E., Maurin M. Etude du systeme ternaire Pb-Sn-S . *C.R. Acad. Sci. Ser. C*. 1972. V. 275 C. P. 269–272.
4. Кохан О.П. Взаємодія в системах $\text{Ag}_2\text{X-B}^{\text{IV}}\text{X}_2$ ($\text{B}^{\text{IV}} = \text{Si}, \text{Ge}; \text{X} = \text{S}, \text{Se}$) і властивості сполук. Автореф. дис. ... канд. хім. наук. Ужгородський держ. Ун-т. Ужгород, 1996. 21 с.
5. Ворошилов Ю.В., Евстигнеева Т.Л., Некрасов И.Я. Кристаллохимические таблицы тройных халькогенидов. Москва : Наука, 1989. 224 с.
6. O. Amiel, D.C. Frankel, H. Wada. Crystal structure of a new silver thioostannate $\text{Ag}_4\text{Sn}_3\text{S}_8$. *J. Solid State Chemistry*. 1995. V. 116. P. 409–421.
7. L.D. Gulay, I.D. Olekseyuk, O.V. Parasyuk. Crystal structure of $\beta\text{-Ag}_2\text{SnSe}_6$. *J. Alloys Comp.* 2002. V. 339. P. 113–117.
8. J. Rivet, J. Flahaut, P. Laruelle. Les etudes du systemes binaires $\text{Cu}_2\text{S-SnS}_2$ et $\text{Cu}_2\text{Se-SnSe}_2$. *C.R. Acad. Sci.* 1967. V. 257. P. 161–164.
9. M. Khanafer, J. Rivet, J. Flahaut. Etude du systeme ternaire Cu-Sn-S . Diagrammes d'equilibre des systemes $\text{Cu}_2\text{S-SnS}$, $\text{Cu}_2\text{S-Sn}_2\text{S}_3$ et $\text{Cu}_2\text{S-SnSe}_2$. Etude cristallographique des composes Cu_4SnS_4 , Cu_2SnS_3 , $\text{Cu}_2\text{Sn}_4\text{S}_9$ et $\text{Cu}_4\text{Sn}_3\text{S}_8$. *Bull. Soc. Chim. Fr.* 1974. P. 2670–2676.
10. N. Wiberg. Lehrbuch der Anorganischen Chemie. Berlin: Walter de Gruyter, 1995. P. 1838-1841.

11. Olekseyuk I.D., Piskach L.V., Zhbakov O.Ye., Parasyuk O.V., Kogut Yu.M. Phase diagrams of the quasi-binary systems $\text{Cu}_2\text{S}-\text{SiS}_2$ and $\text{Cu}_2\text{SiS}_3-\text{PbS}$ and the crystal structure of the new quaternary compound $\text{Cu}_2\text{PbSiS}_4$. *J. Alloys Comp.* 2005. V. 399. P. 140-154.

REFERENCES:

1. Iyer, R.G., Aitken, J.A., Kanatzidis, M.G. (2004) Noncentrosymmetric cubic thio- and selenogermanates: $\text{A}_{0.5}\text{M}_{1.75}\text{GeQ}_4$ (A = Ag, Cu, Na; M = Pb, Eu; Q = S, Se). *Solid State Sciences*, 6, 451-459 [in English].
2. Parasyuk, O.V., Piskach, L.V., Romanyuk, Y.E., Olekseyuk, I.D., Zarembo, V.I., Pekhnyo, V.I. (2005) Phase relations in the quasi-binary $\text{Cu}_2\text{GeS}_3-\text{ZnS}$ and quasi-ternary $\text{Cu}_2\text{S}-\text{Zn}(\text{Cd})\text{S}-\text{GeS}_2$ systems and crystal structure of $\text{Cu}_2\text{ZnGeS}_4$. *J. Alloys Comp.* 397, 85-94 [in English].
3. Jumas, J.-C., Ribes, M., Philippot, E., Maurin, M. (1972) Etude du systeme ternaire Pb-Sn-S. *C.R. Acad. Sci. Ser. C.*, 275, 269-272 [in English].
4. Kokhan, O.P. (1996) Vzayemodiya v systemakh $\text{Ag}_2\text{X}-\text{B}^{\text{IV}}\text{X}_2$ ($\text{B}^{\text{IV}} - \text{Si, Ge; X} - \text{S, Se}$) i vlastyivosti spolk [Interaction in the $\text{Ag}_2\text{X}-\text{B}^{\text{IV}}\text{X}_2$ ($\text{B}^{\text{IV}} - \text{Si, Ge; X} - \text{S, Se}$) systems and properties of compounds]. *Ph.D. thesis*. Uzhgorod State Univ., Uzhgorod, 21 [in Ukrainian].
5. Voroshylov, Yu.V., Yevstigneyeva, T.L., Nekrasov, I.Ya. (1989) *Kristallokhimicheskiye tablitsy troynykh khalkogenidov* [Crystal-chemical tables of ternary chalcogenides]. Moscow: Nauka. 224 [in Russian].
6. Amiel O., Frankel D.C., Wada H. (1995) Crystal structure of a new silver thiostannate $\text{Ag}_4\text{Sn}_3\text{S}_8$. *J. Solid State Chemistry*, 116, 409-421 [in English].
7. Gulay, L.D., Olekseyuk, I.D., Parasyuk, O.V. (2002) Crystal structure of $\beta\text{-Ag}_2\text{SnSe}_6$. *J. Alloys Comp.*, 339, 113-117 [in English].
8. Rivet, J., Flahaut, J., Laruelle, P. (1967) Les etudes du systemes binaires $\text{Cu}_2\text{S}-\text{SnS}_2$ et $\text{Cu}_2\text{Se}-\text{SnSe}_2$. *C.R. Acad. Sci.*, 257, 161-164 [in English].
9. Khanfer, M., Rivet, J., Flahaut, J. (1974) Etude du systeme ternaire Cu-Sn-S. Diagrammes d'equilibre des systemes $\text{Cu}_2\text{S}-\text{SnS}$, $\text{Cu}_2\text{S}-\text{Sn}_2\text{S}_3$ et $\text{Cu}_2\text{S}-\text{SnS}_2$. Etude cristallographique des composes Cu_4SnS_4 , Cu_2SnS_3 , $\text{Cu}_2\text{Sn}_4\text{S}_9$ et $\text{Cu}_4\text{Sn}_3\text{S}_8$. *Bull. Soc. Chim. Fr.*, 2670-2676 [in English].
10. Wiberg, N. (1995) Lehrbuch der Anorganischen Chemie. Berlin: Walter de Gruyter. 1838-1841 [in German].
11. Olekseyuk, I.D., Piskach, L.V., Zhbakov, O.Ye., Parasyuk, O.V., Kogut, Yu.M. (2005) Phase diagrams of the quasi-binary systems $\text{Cu}_2\text{S}-\text{SiS}_2$ and $\text{Cu}_2\text{SiS}_3-\text{PbS}$ and the crystal structure of the new quaternary compound $\text{Cu}_2\text{PbSiS}_4$. *J. Alloys Comp.*, 399, 140-154 [in English].